

## 4. Tangentes e normais; orientabilidade

Uma maneira natural de estudar uma superfície  $S$  consiste em considerar curvas  $\gamma$  cujas imagens estão contidas em  $S$ .

Se a imagem de  $\gamma : (a, b) \rightarrow \mathbb{R}^3$  está contida na imagem de um mapa  $\sigma : U \rightarrow \mathbb{R}^3$  no atlas de  $S$ , existe uma aplicação

$$\begin{aligned} (a, b) &\rightarrow U \\ t &\mapsto (u(t), v(t)) \end{aligned}$$

tal que

$$\gamma(t) = \sigma(u(t), v(t)). \quad (*)$$

As funções  $u$  e  $v$  são necessariamente suaves. Reciprocamente, é óbvio que se

$$t \mapsto (u(t), v(t))$$

é suave então a equação (\*) define uma curva cuja imagem está em  $S$ . Em geral, se  $\gamma : (a, b) \rightarrow \mathbb{R}^3$  é uma curva cuja imagem está em  $S$  e um ponto  $\gamma(t_0)$  de  $\gamma$  é abrangido por um mapa  $\sigma : U \rightarrow \mathbb{R}^3$  de  $S$  então, por continuidade, existe  $\epsilon > 0$  tal que

$$\gamma((t_0 - \epsilon, t_0 + \epsilon)) \subseteq \sigma(U).$$

Podemos então, daqui em diante, restringir-nos a curvas da forma (\*). Portanto, nesta secção entenderemos por *curva em  $S$*  uma curva  $\gamma : (a, b) \rightarrow \mathbb{R}^3$  tal que  $\gamma((a, b)) \subseteq \sigma(U)$ , para algum mapa  $\sigma : U \rightarrow \mathbb{R}^3$  do atlas de  $S$ .

**Definição.** Um *vector tangente* a  $S$  num ponto  $p \in S$  é um vector que é tangente a alguma curva em  $S$  que passa por  $p$ . Assim,  $v$  é tangente a  $S$  em  $p$  se existir uma curva  $\gamma$  em  $S$  tal que  $\gamma(t_0) = p$  e  $\gamma'(t_0) = v$ , para algum  $t_0$  no domínio de  $\gamma$ .

**Proposição 4.1.** *O conjunto dos vectores tangentes a  $S$  em  $p = \sigma(q)$  coincide com o subespaço vectorial de  $\mathbb{R}^3$  gerado pelos vectores*

$$\frac{\partial \sigma}{\partial x}(q) \text{ e } \frac{\partial \sigma}{\partial y}(q).$$

**Demonstração:** Seja  $v$  um vector tangente a  $S$  em  $p$  e seja  $\sigma : U \rightarrow W \subseteq S$  um mapa de  $S$  contendo o ponto  $p$ . Então existe uma curva  $\gamma : (a, b) \rightarrow W$  tal que  $\gamma(t_0) = p$  e  $\gamma'(t_0) = v$ . Consideremos a composição

$$(a, b) \xrightarrow{\gamma} W \xrightarrow{\sigma^{-1}} U \xrightarrow{\sigma} W.$$

Denotando  $\sigma^{-1} \circ \gamma$  por  $\bar{\gamma}$ , temos

$$\begin{aligned} J_\gamma(t_0) &= J_\sigma(q) \cdot J_{\bar{\gamma}}(t_0) \Leftrightarrow \\ \begin{bmatrix} \gamma'_1(t_0) \\ \gamma'_2(t_0) \\ \gamma'_3(t_0) \end{bmatrix} &= \begin{bmatrix} \frac{\partial \sigma_1}{\partial x}(q) & \frac{\partial \sigma_1}{\partial y}(q) \\ \frac{\partial \sigma_2}{\partial x}(q) & \frac{\partial \sigma_2}{\partial y}(q) \\ \frac{\partial \sigma_3}{\partial x}(q) & \frac{\partial \sigma_3}{\partial y}(q) \end{bmatrix} \begin{bmatrix} \bar{\gamma}'_1(t_0) \\ \bar{\gamma}'_2(t_0) \end{bmatrix} \Leftrightarrow \\ v &= \bar{\gamma}'_1(t_0) \frac{\partial \sigma}{\partial x}(q) + \bar{\gamma}'_2(t_0) \frac{\partial \sigma}{\partial y}(q). \end{aligned}$$

Reciprocamente, seja

$$v = c_1 \frac{\partial \sigma}{\partial x}(q) + c_2 \frac{\partial \sigma}{\partial y}(q)$$

e definamos

$$\begin{aligned} \bar{\gamma} : \mathbb{R} &\rightarrow \mathbb{R}^2 \\ t &\mapsto q + t(c_1, c_2). \end{aligned}$$

Trata-se de uma função suave. Como é contínua em  $t = 0$  e  $\bar{\gamma}(0) = q \in U$ , sendo  $U$  um aberto de  $\mathbb{R}^2$ , existe  $\epsilon > 0$  tal que  $\bar{\gamma}((-\epsilon, \epsilon)) \subseteq U$ . Portanto, se considerarmos a restrição de  $\bar{\gamma}$  ao intervalo  $(-\epsilon, \epsilon)$ , podemos efectuar a composição com o mapa  $\sigma$  de  $S$  e obter uma curva  $\gamma = \sigma \circ \bar{\gamma}$  em  $S$  que passa por  $p$  (pois  $\gamma(0) = p$ ):

$$(-\epsilon, \epsilon) \xrightarrow{\bar{\gamma}} U \xrightarrow{\sigma} W \subseteq S.$$

Como  $\gamma(0) = \sigma(\bar{\gamma}(0)) = \sigma(q) = p$ ,  $\bar{\gamma}'_1(0) = c_1$  e  $\bar{\gamma}'_2(0) = c_2$ , temos

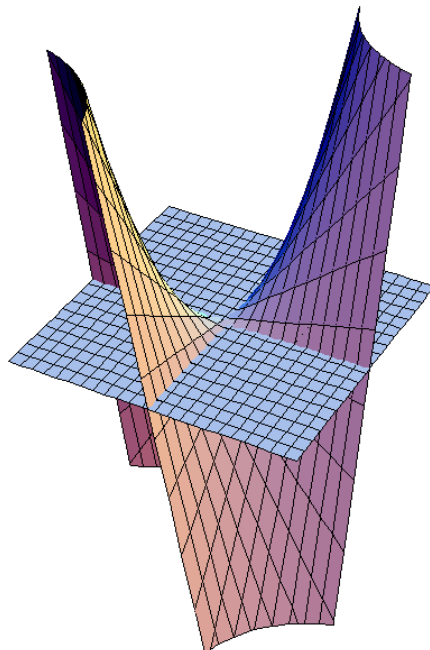
$$\begin{aligned} J_\gamma(0) &= J_\sigma(q) \cdot J_{\bar{\gamma}}(0) \Leftrightarrow \\ \gamma'(0) &= c_1 \frac{\partial \sigma}{\partial x}(q) + c_2 \frac{\partial \sigma}{\partial y}(q) \Leftrightarrow \\ \gamma'(0) &= v \end{aligned}$$

e, portanto,  $v$  é tangente a  $S$  em  $p$ . ■

A este espaço vectorial de  $\mathbb{R}^3$ , formado pelos vectores tangentes a  $S$  em  $p$ , chama-se *espaço tangente* de  $S$  em  $p$ . Como  $\frac{\partial \sigma}{\partial x}(q)$  e  $\frac{\partial \sigma}{\partial y}(q)$  são linearmente independentes, o espaço tangente a  $S$  em  $p$ , habitualmente denotado por  $T_p S$ , tem dimensão 2. Temos assim um plano, o chamado *plano tangente* a  $S$  em  $p$ :

$$\Pi_p S = \left\{ x \in \mathbb{R}^3 \mid \exists \lambda_1, \lambda_2 \in \mathbb{R} : x = p + \lambda_1 \frac{\partial \sigma}{\partial x}(q) + \lambda_2 \frac{\partial \sigma}{\partial y}(q) \right\}.$$

A figura seguinte mostra o plano tangente ao parabolóide hiperbólico  $z = xy$ , na origem  $(0, 0, 0)$ .



$\Pi_p S$  é completamente determinado por um vector unitário a ele perpendicular, chamado *normal unitária* de  $S$  em  $p$ . Existem, como é evidente, dois vectores nessas condições. A Proposição 4.1 mostra, no entanto, que a escolha de um mapa  $\sigma : U \rightarrow S$  contendo  $p$  conduz a uma escolha definitiva, nomeadamente

$$N_\sigma(p) = \frac{\frac{\partial \sigma}{\partial x}(q) \wedge \frac{\partial \sigma}{\partial y}(q)}{\left\| \frac{\partial \sigma}{\partial x}(q) \wedge \frac{\partial \sigma}{\partial y}(q) \right\|}.$$

Este vector é chamado *vector normal unitário standard*. Mas, ao contrário do plano tangente, este vector não é totalmente independente da escolha do mapa  $\sigma$  de  $S$  contendo  $p$ . Com efeito, seja  $\tilde{\sigma} : \tilde{U} \rightarrow S$  outro mapa no atlas de  $S$  tal que  $\tilde{\sigma}(\tilde{q}) = p$ . Vimos anteriormente (na demonstração da Proposição 2.5) que

$$\frac{\partial \tilde{\sigma}}{\partial x}(\tilde{q}) \wedge \frac{\partial \tilde{\sigma}}{\partial y}(\tilde{q}) = \det(J_\Phi(\tilde{q})) \left( \frac{\partial \sigma}{\partial x}(q) \wedge \frac{\partial \sigma}{\partial y}(q) \right),$$

onde  $\Phi$  denota a mudança de coordenadas  $\sigma^{-1} \circ \tilde{\sigma}$  de  $\tilde{\sigma}$  para  $\sigma$ . Portanto

$$N_{\tilde{\sigma}}(p) = \frac{\frac{\partial \tilde{\sigma}}{\partial x}(\tilde{q}) \wedge \frac{\partial \tilde{\sigma}}{\partial y}(\tilde{q})}{\left\| \frac{\partial \tilde{\sigma}}{\partial x}(\tilde{q}) \wedge \frac{\partial \tilde{\sigma}}{\partial y}(\tilde{q}) \right\|} = \pm \frac{\frac{\partial \sigma}{\partial x}(q) \wedge \frac{\partial \sigma}{\partial y}(q)}{\left\| \frac{\partial \sigma}{\partial x}(q) \wedge \frac{\partial \sigma}{\partial y}(q) \right\|} = \pm N_\sigma(p),$$

onde o sinal é o do determinante de  $J_\Phi(\tilde{q})$ .

Isto conduz-nos à seguinte definição:

**Definição.** Uma superfície  $S$  diz-se *orientável* se possuir um atlas com a seguinte propriedade: se  $\Phi = \sigma^{-1} \circ \tilde{\sigma}$  é a mudança de coordenadas entre quaisquer dois mapas do atlas, então  $\det(J_\Phi(\tilde{q})) > 0$  em qualquer ponto  $\tilde{q}$  do domínio de  $\Phi$ .

Tal atlas diz-se uma *orientação* de  $S$ .

Portanto, numa superfície orientável existe uma escolha canónica da normal unitária  $N(p)$ , em cada ponto  $p$ , obtida tomando a normal unitária standard de cada mapa de um atlas orientado de  $S$  (escolha essa que depende suavemente de  $p$ ), ou seja, existe  $N : S \rightarrow \mathbb{R}^3$ , suave, tal que  $\|N(p)\| = 1$  e  $N(p) \in (T_p S)^\perp$  para cada  $p \in S$ . A uma função  $N$  destas chama-se *campo de vectores normais unitários* em  $S$ .

Em conclusão:

**Proposição 4.2.** *Se uma superfície  $S$  é orientável então possui um campo de vectores normais unitários  $N : S \rightarrow \mathbb{R}^3$ .* ■

O recíproco de 4.2 também é verdadeiro, mas não o provaremos. Em suma, a existência de um campo de vectores normais unitários caracteriza a orientabilidade de uma superfície.

**Exemplos.** (1) Qualquer superfície que admita uma parametrização global é orientável. Em particular, qualquer gráfico  $G_f$  é uma superfície orientável.

(2) Seja  $S$  uma superfície do tipo  $f^{-1}(a)$  (sendo  $a$  um valor regular de  $f : U \subseteq \mathbb{R}^3 \rightarrow \mathbb{R}$ ). Neste caso, para cada mapa  $\sigma : U' \rightarrow W \subseteq S$ ,  $f \circ \sigma$  é constante ( $f(\sigma(x)) = a$  para cada  $x \in U'$ ) pelo que

$$\begin{bmatrix} 0 & 0 \end{bmatrix} = J_f(p) \cdot J_\sigma(q)$$

para cada  $p = \sigma(q) \in W$ . Consequentemente, como  $J_f(p) = \nabla f(p)$ ,

$$(\nabla f(p) \mid \frac{\partial \sigma}{\partial x}(q)) = 0 \quad \text{e} \quad (\nabla f(p) \mid \frac{\partial \sigma}{\partial y}(q)) = 0.$$

Portanto,  $\nabla f(p) \in (T_p S)^\perp$  e

$$\frac{\nabla f(p)}{\|\nabla f(p)\|}$$

é uma boa escolha para  $N(p)$  pois define um campo de vectores normais unitários em  $S$ . Podemos então concluir que toda a superfície deste tipo (como, por exemplo, o toro, o elipsóide, os hiperbolóides, etc.) é orientável.

Isto também mostra que neste tipo de superfícies podemos determinar o plano tangente em qualquer ponto sem precisar de conhecer nenhum mapa da superfície contendo esse ponto. Com efeito, como

$$\left(\nabla f(p) \mid \frac{\partial \sigma}{\partial x}(q)\right) = 0 \quad \text{e} \quad \left(\nabla f(p) \mid \frac{\partial \sigma}{\partial y}(q)\right) = 0,$$

então

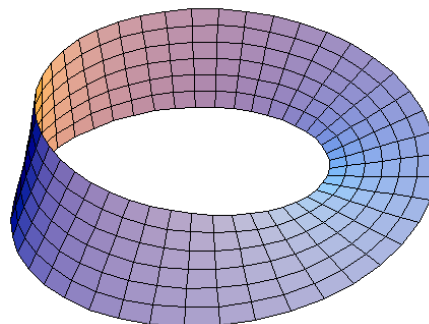
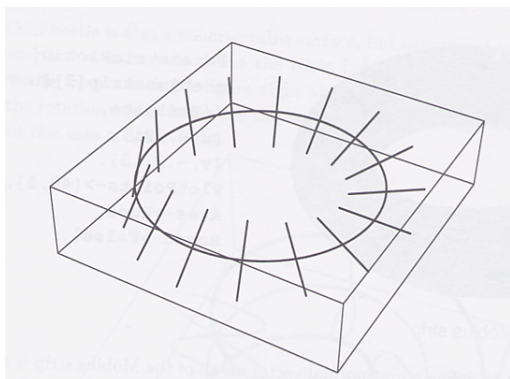
$$T_p S = \langle \nabla f(p) \rangle^\perp$$

e

$$\Pi_p S = \{x \in \mathbb{R}^3 \mid (x - p \mid \nabla f(p)) = 0\}.$$

(3) Todos os exemplos de superfícies que vimos até ao momento são superfícies orientáveis. Vejamos agora um exemplo de uma superfície que não é orientável.

A *fita de Möbius*  $\mathcal{M}$  é a superfície que se obtém rodando um segmento de recta  $\mathcal{L}$  em torno do seu ponto médio  $P$  ao mesmo tempo que  $P$  se move ao longo de uma circunferência  $\mathcal{C}$ , de tal modo que enquanto  $P$  dá uma volta à circunferência  $\mathcal{C}$ ,  $\mathcal{L}$  dá meia volta em torno de  $P$ .



Se tomarmos para  $\mathcal{C}$  a circunferência  $x^2 + y^2 = 1$  no plano  $OXY$  e para  $\mathcal{L}$  o segmento de comprimento 1 paralelo ao eixo  $OZ$  e com ponto médio  $P = (1, 0, 0)$  então, após  $P$  ter rodado  $\theta$  radianos em torno de  $OZ$ ,  $\mathcal{L}$  terá rodado  $\theta/2$  radianos em torno de  $P$  (no plano contendo  $P$  e o eixo  $OZ$ ). O ponto de  $\mathcal{L}$  inicialmente em  $(1, 0, t)$  estará então, após essa rotação de ângulo  $\theta$ , no ponto

$$\sigma(t, \theta) = \left( (1 - t \sin \frac{\theta}{2}) \cos \theta, (1 - t \sin \frac{\theta}{2}) \sin \theta, t \cos \frac{\theta}{2} \right).$$

Consideremos para domínio de  $\sigma$  o aberto

$$U = \{(t, \theta) \in \mathbb{R}^2 \mid -1/2 < t < 1/2, 0 < \theta < 2\pi\}.$$

Podemos definir um segundo mapa  $\tilde{\sigma}$  pela mesma fórmula de  $\sigma$  mas com domínio

$$\tilde{U} = \{(t, \theta) \in \mathbb{R}^2 \mid -1/2 < t < 1/2, -\pi < \theta < \pi\}.$$

Estes dois mapas formam um atlas de  $\mathcal{M}$  (Exercício 3.10), pelo que a fita de Möbius é uma superfície.

Calculemos a normal unitária standard  $N_\sigma$  em pontos da circunferência  $\mathcal{C}$  (onde  $t = 0$ ). Em tais pontos  $p = \sigma(0, \theta)$ , temos

$$\frac{\partial \sigma}{\partial t}(0, \theta) = \left( -\sin \frac{\theta}{2} \cos \theta, -\sin \frac{\theta}{2} \sin \theta, \cos \frac{\theta}{2} \right), \quad \frac{\partial \sigma}{\partial \theta}(0, \theta) = (-\sin \theta, \cos \theta, 0),$$

pelo que

$$\frac{\partial \sigma}{\partial t}(0, \theta) \wedge \frac{\partial \sigma}{\partial \theta}(0, \theta) = \left( -\cos \theta \cos \frac{\theta}{2}, -\sin \theta \cos \frac{\theta}{2}, -\sin \frac{\theta}{2} \right).$$

Trata-se de um vector unitário, pelo que é igual a  $N_\sigma(p)$ .

Se a fita de Möbius fosse orientável, existiria um campo de vectores normais unitários em  $\mathcal{M}$ ,  $N : \mathcal{M} \rightarrow \mathbb{R}^3$ , variando suavemente em  $\mathcal{M}$ . Num ponto  $p = \sigma(0, \theta)$  de  $\mathcal{C}$ , teríamos

$$N(p) = \lambda(\theta)N_\sigma(p),$$

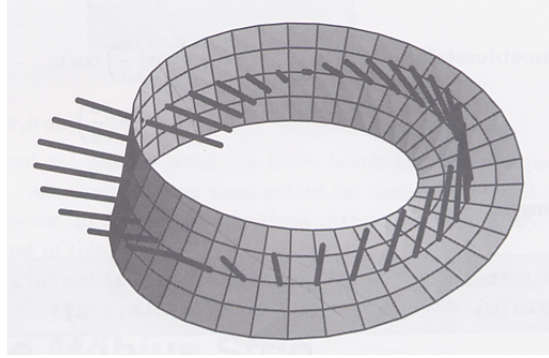
onde  $\lambda : (0, 2\pi) \rightarrow \mathbb{R}$  é suave e  $\lambda(\theta) = \pm 1$  para qualquer  $\theta$ . Consequentemente,  $\lambda(\theta) = 1$  para qualquer  $\theta \in (0, 2\pi)$ , ou  $\lambda(\theta) = -1$  para qualquer  $\theta \in (0, 2\pi)$ . Substituindo  $N(p)$  por  $-N(p)$  no caso em que  $\lambda(\theta) = -1$ , podemos assumir que  $\lambda(\theta)$  é sempre 1. Então, no ponto  $p_0 = \sigma(0, 0) = \sigma(0, 2\pi)$ , como  $N$  é suave, teremos que ter

$$N(p_0) = \lim_{\theta \downarrow 0} N_\sigma(p) = \lim_{\theta \downarrow 0} \left( -\cos \theta \cos \frac{\theta}{2}, -\sin \theta \cos \frac{\theta}{2}, -\sin \frac{\theta}{2} \right) = (-1, 0, 0)$$

e também

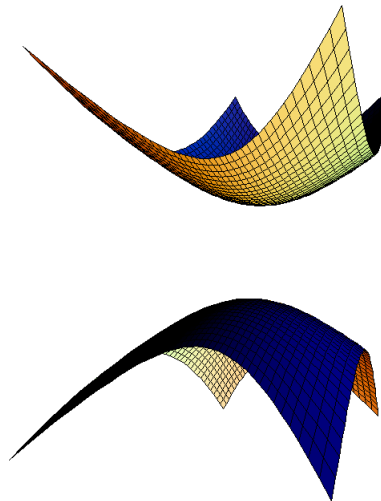
$$N(p_0) = \lim_{\theta \uparrow 2\pi} N_\sigma(p) = \lim_{\theta \uparrow 2\pi} \left( -\cos \theta \cos \frac{\theta}{2}, -\sin \theta \cos \frac{\theta}{2}, -\sin \frac{\theta}{2} \right) = (1, 0, 0).$$

Esta contradição mostra que a fita de Möbius não é orientável.

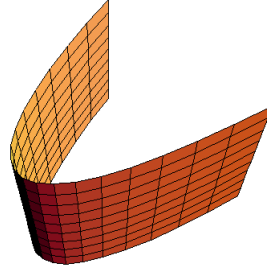


### Exercícios

- 4.1 Considere o cone  $\mathcal{S} = \{(x, y, z) \in \mathbb{R}^3 \mid z^2 = x^2 + y^2, z > 0\}$ . Prove, usando a definição, que se trata de uma superfície. Mostre que  $\mathcal{S}$  tem o mesmo plano tangente nos pontos pertencentes à recta  $x = 0, y = z$ .
- 4.2 Considere  $f : \mathbb{R}^3 \rightarrow \mathbb{R}$  dada por  $f(x, y, z) = x^2y^2$ .
- Determine o conjunto dos valores regulares de  $f$ .
  - Seja  $\mathcal{S} = \{(x, y, z) \in \mathbb{R}^3 \mid x^2y^2 = c\}$ ,  $c \in \mathbb{R}^+$ . Prove que qualquer plano tangente a  $\mathcal{S}$  é paralelo à recta  $x = 1, y = 2$ .
- 4.3 Considere o hiperbolóide de duas folhas  $\mathcal{H} = \{(x, y, z) \in \mathbb{R}^3 \mid z^2 = x^2 + y^2 + 1\}$ .



- Justifique que  $\mathcal{H}$  é uma superfície.
  - Determine os pontos de  $\mathcal{H}$  nos quais o plano tangente é paralelo ao eixo  $OZ$ .
- 4.4 Considere a superfície  $\mathcal{S} = \{(x, y, z) \in \mathbb{R}^3 \mid z = \sin x \sin y \sin(x+y)\}$ . Determine os pontos de  $\mathcal{S}$  nos quais o plano tangente é paralelo ao plano de equação  $z = 0$ .
- 4.5 Considere a superfície  $\mathcal{S} = \{(x, y, z) \in \mathbb{R}^3 \mid z = x^3 + 3xy^2\}$ . Mostre que existem pontos de  $\mathcal{S}$  para os dois lados do plano tangente a  $\mathcal{S}$  em  $(0, 0, 0)$ .
- 4.6 Considere o cilindro parabólico  $\mathcal{S} = \{(x, y, z) \in \mathbb{R}^3 \mid y = x^2\}$ .



- (a) Prove que  $\mathcal{S}$  é uma superfície que pode ser coberta por uma parametrização.  
 (b) Determine a recta normal a  $\mathcal{S}$  em  $(0, 0, 0)$ .

4.7 Seja  $\mathcal{S} = \{(x, y, z) \in \mathbb{R}^3 \mid z = \frac{e^x}{x^2+y^2}, (x, y) \neq (0, 0)\}$ . Determine uma equação para o plano tangente a  $\mathcal{S}$  em  $(0, 1, 1)$ . Verifique se  $(1, 1, 0)$  pertence à recta normal a  $\mathcal{S}$  em  $(0, 1, 1)$ .

4.8 Considere o *cilindro elíptico*  $\mathcal{S} = \{(x, y, z) \in \mathbb{R}^3 \mid \frac{x^2}{p^2} + \frac{y^2}{q^2} = 1\}$ , com  $p, q \neq 0$ , constantes.

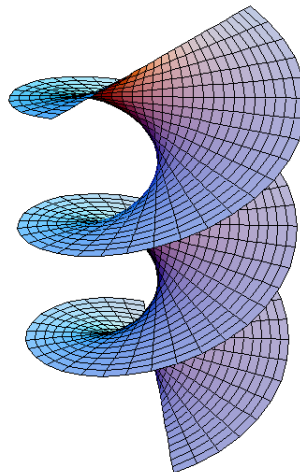
- (a) Prove que o plano tangente a  $\mathcal{S}$  nos pontos da recta

$$\mathcal{L} = \{(x, y, z) \in \mathbb{R}^3 \mid x = x_0, y = y_0, \frac{x_0^2}{p^2} + \frac{y_0^2}{q^2} = 1\}$$

permanece constante.

- (b) Mostre que qualquer normal a  $\mathcal{S}$  é paralela ao plano de equação  $z = 0$ .

4.9 Um *helicóide* é a superfície descrita por uma hélice de avião quando, quer o avião quer a hélice, se movem com velocidade constante. Portanto, um helicóide é a superfície gerada por um segmento de recta, que roda a velocidade constante em torno de um eixo a ele perpendicular, enquanto simultaneamente se move ao longo desse eixo com velocidade constante.



Se o avião estiver a voar ao longo do eixo  $OZ$ , mostre que o helicóide pode ser parametrizado por  $\phi(u, v) = (v \cos u, v \sin u, \lambda u)$ , onde  $\lambda$  é uma constante. Mostre ainda que a co-tangente do ângulo que a normal unitária de  $\phi$  num ponto  $P$  faz com o eixo  $OZ$  é proporcional à distância de  $P$  ao eixo.

4.10 A *fita de Möbius*  $\mathcal{M}$  é a superfície que se obtém rodando um segmento de recta  $\mathcal{L}$  em torno do seu ponto médio  $P$  ao mesmo tempo que  $P$  se move ao longo de uma circunferência  $\mathcal{C}$ ,

de tal modo que enquanto  $P$  dá uma volta à circunferência  $\mathcal{C}$ ,  $\mathcal{L}$  dá meia volta em torno de  $P$ . Se tomarmos para  $\mathcal{C}$  a circunferência  $x^2 + y^2 = 1$  no plano  $OXY$  e para  $\mathcal{L}$  o segmento de comprimento 1 paralelo ao eixo  $OZ$  e com ponto médio  $P = (1, 0, 0)$  então, após  $P$  ter rodado  $\theta$  radianos em torno de  $OZ$ ,  $\mathcal{L}$  terá rodado  $\theta/2$  radianos em torno de  $P$  (no plano contendo  $P$  e o eixo  $OZ$ ).

- (a) Mostre que o ponto de  $\mathcal{L}$  inicialmente em  $(1, 0, t)$  estará, após essa rotação de ângulo  $\theta$ , no ponto

$$\sigma(t, \theta) = \left( (1 - t \sin \frac{\theta}{2}) \cos \theta, (1 - t \sin \frac{\theta}{2}) \sin \theta, t \cos \frac{\theta}{2} \right). \quad (*)$$

- (b) Tome para domínio de  $\sigma$  o aberto  $U = \{(t, \theta) \in \mathbb{R}^2 \mid -1/2 < t < 1/2, 0 < \theta < 2\pi\}$ . Sendo  $\tilde{U} = \{(t, \theta) \in \mathbb{R}^2 \mid -1/2 < t < 1/2, -\pi < \theta < \pi\}$ , considere  $\tilde{\sigma} : \tilde{U} \rightarrow \mathcal{M}$  também definida por (\*). Mostre que  $\sigma$  e  $\tilde{\sigma}$  formam um atlas de  $\mathcal{M}$ .
- (c) Mostre que  $N_\sigma(p)$ , para  $p = \sigma(0, \theta)$ , é igual a  $(-\cos \theta \cos \frac{\theta}{2}, -\sin \theta \cos \frac{\theta}{2}, -\sin \frac{\theta}{2})$ .
- (d) Verifique que  $\lim_{\theta \downarrow 0} N_\sigma(p) = (-1, 0, 0)$  e  $\lim_{\theta \uparrow 2\pi} N_\sigma(p) = (1, 0, 0)$ .  
(Isto mostra que a fita de Möbius não é orientável.)

4.11 Seja  $\gamma : I \rightarrow \mathbb{R}^3$  uma curva plana cuja imagem está contida em

$$\{(x, y, z) \in \mathbb{R}^3 \mid x = 0, z > 0\}$$

e seja  $S$  a superfície de revolução obtida rodando  $\gamma$  em torno do eixo  $OY$ . Sendo

$$\begin{aligned} \alpha : J &\longrightarrow \gamma(I) \\ t &\longmapsto (0, \alpha_2(t), \alpha_3(t)). \end{aligned}$$

uma curva com velocidade constante, considere:

- para cada  $\theta \in \mathbb{R}$ ,

$$\begin{aligned} \alpha_\theta : J &\longrightarrow S \\ t &\longmapsto (\alpha_2(t), \alpha_3(t) \cos \theta, \alpha_3(t) \sin \theta); \end{aligned}$$

- para cada  $t \in J$ ,

$$\begin{aligned} \beta_t : \mathbb{R} &\longrightarrow S \\ \theta &\longmapsto (\alpha_2(t), \alpha_3(t) \cos \theta, \alpha_3(t) \sin \theta). \end{aligned}$$

As curvas  $\alpha_\theta$  chamam-se *meridianos* de  $S$ , e as circunferências  $\beta_t$  chamam-se *paralelos* de  $S$  (recorde o que vimos na secção anterior sobre as superfícies de revolução).

- (a) Mostre que os meridianos e os paralelos se intersectam sempre ortogonalmente, isto é,  $(\alpha'_\theta(t) \mid \beta'_t(\theta)) = 0$  para quaisquer  $t \in J$ ,  $\theta \in \mathbb{R}$ .
- (b) Sabendo que uma *geodésica* de uma superfície  $S$  é uma curva  $\gamma : I \rightarrow S$  cuja aceleração  $\gamma''(t)$  pertence a  $(T_{\gamma(t)}S)^\perp$  para todo o  $t \in I$ , prove que:
- Cada meridiano  $\alpha_\theta$  é uma geodésica da superfície de revolução  $S$  acima definida.
  - Um paralelo  $\beta_t$  é uma geodésica se e só se  $\alpha'_3(t) = 0$ .